

بررسی تجربی ریزش گردابه درون لایه برشی جدا شده یک پله وارون

دکتری، دانشکده مهندسی هوافضا، دانشگاه صنعتی خواجه نصیرالدین طوسی، تهران، ایران
استاد، دانشکده مهندسی هوافضا، دانشگاه صنعتی خواجه نصیرالدین طوسی، تهران، ایران
کارشناس، دانشکده مهندسی هوافضا، دانشگاه صنعتی خواجه نصیرالدین طوسی، تهران، ایران

غلامحسین پوریوسفی*

مسعود میرزاپی

مجید حاجی‌پور

چکیده

در مقاله حاضر، پژوهشی تجربی، با هدف بررسی ویژگی‌های الگوی جریان و ناحیه‌ی جدایش پیرامون پله‌ی وارون (BFS) با نسبت انبساط کم (پله‌ی آبودینامیکی)، در گستره‌ی عدد رینولدز $18000 < Re_H < 54000$ ، صورت گرفته است. توزیع ضریب فشار متوسط روی سطح مدل پله، که با دستگاه مبدل فشار به دست آمد، نشان داد که الگوی جریان در این گستره از عدد رینولدز حالتی ساختاریافته پیدا کرده است. از طرف دیگر، به منظور بررسی ریزش گردابه‌ها در لایه برشی جدا شده، رفتار لحظه‌ای دنباله‌ی پله نیز به کمک دستگاه جریان‌سنج سیم داغ، مورد مطالعه قرار گرفت. طبق نتایج، مشاهده شد که افزایش سرعت جریان آزاد و به طبع آن افزایش آهنگ گردش و غلتش گردابه‌ها در لایه برشی، قادر و دامنه گردابه‌ها و همچنین فرکانس ریزش آن‌ها را افزایش می‌دهد. به علاوه، با افزایش فاصله از لبه نوک پله و حرکت به طرف پایین دست لایه برشی، از تعداد گردابه‌های ریزش شده درون لایه برشی کاسته می‌شود ولی همزمان اندازه و دامنه گردابه‌های پایین دست افزایش می‌یابد.

واژه‌های کلیدی: پله‌ی وارون، توزیع فشار، حباب جدایش، بازیابی جریان، ریزش گردابه.

Experimental Investigation of the Vortex Shedding in the Separated Shear Layer of a Backward-facing Step

Gh. Pouryoussefi

Ph.D., Faculty of Aerospace Engineering, K. N. Toosi University of Technology, Tehran, Iran

M. Mirzaei

Professor, Faculty of Aerospace Engineering, K. N. Toosi University of Technology, Tehran, Iran

M. Hajipour

B.Sc., Associate Professor, Faculty of Aerospace Engineering, K. N. Toosi University of Technology, Tehran, Iran

Abstract

In this paper, an experimental research was carried out for investigating the characteristics of the flow pattern and separation region behind a backward-facing step (BFS) with low expansion ration (aerodynamic step), in the Reynolds number range of $18000 < Re_H < 54000$. Mean pressure coefficient distribution on the step surface, measured by pressure transducers, illustrates that the flow pattern in this range of Reynolds number has regular behavior. On the other hand, in order to investigate the vortex shedding phenomenon in separated shear layer, the instantaneous behavior of the wake was studied by the hot-wire anemometer. It was found that increasing the free stream velocity and rate of rotation and rolling of vortices in the shear layer, leads to arise in power and amplitude of the vortices as well as their shedding frequencies. Moreover, by increasing the distance from the step tip edge and downstream moving of the shear layer, then the umber of shed vortices in the shear layer is reduced, but at the same time the size and amplitude of the downstream vortices go up.

Keywords: Backward-facing step, Pressure distribution, Separation bubble, Flow recovery, Vortex shedding.

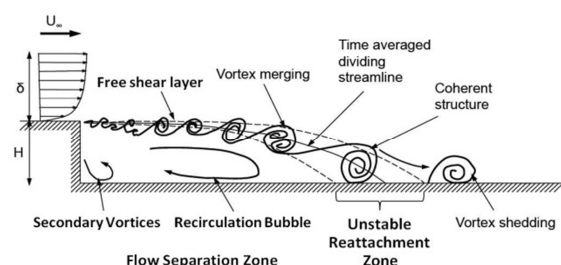
۱- مقدمه

اولین تحقیقات جامع صورت گرفته در زمینه‌ی جریان عبوری از پله، در سال ۱۹۸۲ توسط آرمالی و همکارانش [۲]، به انجام گرفت. آنها با انجام آزمایش‌های تجربی متعدد روی جریان پله، در اعداد رینولدز مختلف، ویژگی‌های اصلی این جریان را بررسی نمودند. به طور مثال، آنها نشان دادند که طول بازپیوست جریان جداسده، با افزایش عدد رینولدز ابتدا زیاد شده و با رسیدن جریان به حالت گذار بیشترین مقدار خود را می‌باید. پس از آن، با آشفته شدن جریان، طول بازپیوست رو به کاهش نهاده تا به میزان نسبتاً ثابتی برسد. آدام و جانستون [۳] نیز در تحقیقات خود صحت این موضوع را تایید نمودند. آنها همچنین به صورت جامع، به بررسی اثر ضخامت لایه‌ی مرزی در نقطه جدایش، بر طول بازپیوست و میزان تنفس دیواره پرداختند. از جمله مطالعات جدیدتر در زمینه‌ی جریان پیرامون پله، می‌توان به تحقیق صورت گرفته توسط کاستاک و همکارانش [۴] در سال ۲۰۰۲ اشاره نمود. آنها با اندازه‌گیری میدان جریان به وسیله‌ی روش پی‌آی‌وی، چگونگی شکل‌گیری گردابه‌ها در لایه‌ی بررشی، و همین‌طور فیزیک نوسانات لایه‌ی بررشی را بررسی نمودند. به علاوه، راجاسکاران [۱] در سال ۲۰۱۱، با بررسی عددی و تجربی مشخصات جریان دنباله پله وارون، نشان داد که دنباله ناشی از یک لایه‌ی بررشی برخاسته، تابع پارامترهای مختلفی مانند نسبت انبساط، نسبت منظری، شدت اختشاشات جریان آزاد و همچنین وضعیت و ضخامت لایه مرزی در نقطه جدایش، می‌باشد.

در پژوهش‌های مربوط به جریان پله، معمولاً دو مود نوسانی گزارش می‌شود. مود اول به فرایند جفت‌شدن و ریزش گردابه‌ها در لایه‌ی بررشی نسبت داده شده و آن را به نام "مود ریزش" یا "مود پله" می‌شناسند. دومین مود نوسانی را "مود فلپینگ" یا "مود لایه‌ی بررشی" می‌گویند. این مود مربوط به حرکت فرکانس-پایین لایه بررشی، معروف به حرکت بال‌زن، است. مشاهده شده است که فرکانس مود فلپینگ معمولاً یک مرتبه از نظر اندازه، از فرکانس مود ریزش کمتر است [۵]. همچنین، فرکانس ریزش گردابه‌ها (مود پله) در پایین دست پله از مرتبه $St_H \approx 2 * 10^{-1}$ می‌باشد. کیثووفر [۶] در مطالعات تجربی خود، عدد استروهال متناظر با ریزش گردابه‌ها را برابر 0.24 گزارش کرده است. در پژوهشی دیگر به روش شبیه‌سازی عددی بی‌واسطه، اسکفر و همکارانش [۷]، فرکانس ریزش گردابه‌های جریان پله را برابر 0.266 به دست آوردند. حسن نیز در گزارش‌های خود، در حالت جدایش آرام جریان در لبه‌ی پله، فرکانس بی‌بعد مود پله را حدود 0.185 بیان می‌کند [۸]. همچنین چان و سانگ [۹]، در تحقیقات خود به منظور کنترل طول جدایش جریان پله، فرکانس بی‌بعد ریزش گردابه‌ها را حدود 0.27 به دست آورده‌اند.

جدایش جریان سیال، پدیده‌ای است که به وفور در طبیعت و در وسائل ساخته‌ی دست بشر به چشم می‌خورد. جریان در ناحیه‌ی جدایش، رفتاری نوسانی و به شدت ناپایا دارد که این مسئله، موجب پیچیدگی فیزیک جریان می‌گردد. از طرفی به دلیل اهمیت خاص موضوع جدایش جریان در مسائل صنعتی، تحقیقات زیادی به این پدیده پرداخته و ویژگی‌های جریان جدا شده روی هندسه‌های مختلف را بررسی کرده است. این میان، جریان پیرامون پله وارون (BFS)، به دلیل ویژگی‌های خاص ناحیه‌ی جدایش آن، به دفعات مورد آزمایش قرار گرفته است [۱]. مطالعه‌ی ناحیه‌ی جدایش پله (پله وارون) می‌تواند مبنای درک رفتار جریان سیال در بسیاری از موارد واقعی باشد. از جمله کاربردهای مهندسی بررسی جریان پله می‌توان به جریان هوای پیرامون پله و ساختمنهای بلند، سازه‌های دریایی، جریان سیال عبوری از لوله‌های با قطر متغیر، جریان هوای پیرامون سطوح برآفرازی هواپیماها و بسیاری موارد دیگر اشاره نمود.

فیزیک جریان پیرامون پله وارون، طی سالیان گذشته توسط پژوهشگران زیادی مطالعه شده و ویژگی‌های کلی این جریان، در گستره‌های عدد رینولدز به خوبی شناخته شده است [۷-۱]. همانگونه که در شکل ۱ مشاهده می‌شود، این جریان را می‌توان به چند ناحیه‌ی مختلف تقسیم نمود. لایه‌ی مرزی در لبه‌ی پله، بدليل ناپیوستگی هندسی موجود (گرادیان فشار معکوس شدید)، جدا شده و یک لایه‌ی بررشی آزاد را تشکیل می‌دهد. درون این لایه‌ی بررشی ساختارهای گردابه‌ای تولید شده، و در حالی که به سمت پایین دست حرکت می‌کنند، رول می‌غلتنند، رشد می‌کنند و با هم جفت می‌شوند. بین لایه‌ی بررشی و دیواره‌ی پایین دست پله، یک ناحیه‌ی برگشتی شکل می‌گیرد (ناحیه‌ی جدایش جریان) که معمولاً شامل یک حباب بازگردش و یک گردابه‌ی ثانویه می‌باشد. محلی که لایه‌ی بررشی به دیواره برخورد می‌کند نیز با نام ناحیه‌ی بازپیوست شناخته می‌شود. مشاهده شده است که خصوصیات این نواحی، به هندسه‌ی پله و شرایط جریان بالادرست وابسته می‌باشد [۱].



شکل ۱- مشخصات میدان جریان پایین دست پله وارون [۱]



شکل ۳- نمایی از مدل پله ساخته شده در این تحقیق

1.2m و به ارتفاع 1m است. بیشترین سرعت در اتاق آزمون تونل به 70 m/s می‌رسد که تحت شرایط جریان یکنواخت، شدت اختشاشات مولفه‌ی طولی سرعت جریان آزاد کمتر از 20% ، و غیریکنواختی سرعت در عرض اتاق آزمون حدود 5% می‌باشد. در شکل ۲، نمایی از این تونل باز مشاهده می‌شود.

مدل پله‌ی تحت آزمایش از صفحات پلکسی‌گلس ساخته شد که زبری سطح مدل برابر $R_a = 0.05\text{ }\mu\text{m}$ باشد. ارتفاع پله $5/4\text{ cm}$ و طول دهانه آن نیز برابر 55 cm است که در نتیجه، نسبت منظری مدل برابر $10/2$ به دست می‌آید. طبق تحقیقاتی که برداشتو و همکارانش [۳] انجام داده‌اند، به منظور حصول جریان دو بعدی در اطراف پله، لازم است که نسبت منظری پله برابر و یا بیش از 10 باشد. به علاوه، دو دیواره جانبی به ارتفاع 14cm در طرفین مدل در نظر گرفته شد. شکل ۳، ویژگی‌های برشمرده شده برای مدل پله را به تصویر می‌کشد. همان‌طور که در این شکل مشاهده می‌گردد، مدل توسط چهار پایه‌ی متصل به کف آن، در ارتفاع 30 cm از دیواره کف اتاق آزمون قرار می‌گیرد. همچنین، هنگامی که مدل درون تونل باز قرار می‌گیرد، نسبت انبساطی برابر $13/10$ ایجاد می‌شود.

در حالتی که جریان پله در پایین دست نقطه جدایش (لبه‌ی نوک پله) آشفته باشد، طول حباب جدایش معمولاً در گستره‌ی H بین $5H$ تا $6H$ جایه‌جا می‌شود که H همان ارتفاع پله است [۱۲]. با انتخاب صفحه‌ی پایین دست مدل به طول 67 cm ($12/4H$)، این اطمینان حاصل می‌گردد که در شرایط مختلف آزمایش، نقطه‌ی بازپیوست در فاصله‌ی مناسبی از انتهای پله قرار گیرد. در بالادست پله نیز، صفحه‌ای به ضخامت 3 mm و طول 22 cm به کار رفته که لبه‌ی رو به باز آن (لبه‌ی حمله) به شکل بیضی تراش داده شده است. شکل ۴ لبه‌ی حمله‌ی صفحه بالادست مدل را نشان می‌دهد.



شکل ۲- نمایی از تونل باز مورد استفاده در این تحقیق

تا کنون، پژوهش‌های متعددی به بررسی ویژگی‌های پایا و ناپایا ناحیه‌ی جدایش پله‌ی وارون پرداخته‌اند که بیشتر آنها مطالعات عددی بوده‌اند. در این میان، نکته‌ای که به چشم می‌خورد این است که بیشتر پژوهش‌های تجربی، در اعداد رینولدز پایین ($Re_H < 6000$) و نسبت انبساط زیاد ($2:1$ ، $3:2$ و $4:3$) انجام شده‌اند. به عبارت دیگر، این پژوهش‌ها معطوف به پله‌ی درون کanal (جریان داخلی) بوده‌اند. مطالعه حاضر، برای اولین بار، در نسبت انبساط بسیار کم ($13:14$ یعنی مسأله پله آبودینامیکی) و گستره عدد رینولدز به نسبت بالاتری ($54000 < Re_H < 18000$) صورت گرفته است که این تحقیق را از سایر پژوهش‌های مشابه متمایز می‌کند. در این تحقیق، رفتار جریان پشت یک پله آبودینامیکی، به صورت تجربی در تونل باز مورد بررسی قرار می‌گیرد. در این راستا، توزیع فشار متوسط روی سطح پله و همچنین طیف نوسانات جریان در لایه‌ی برشی جدادشده، اندازه‌گیری می‌شود. گفتنی است که، بررسی الگوی جریان پیرامون چنین پله‌ای در گستره اعداد رینولدز اشاره شده، اهمیت و کاربرد فراوانی در مطالعه اثرات پدیده‌ی یخ‌زدگی روی بال هواپیما دارد. از دهه‌ی شصت میلادی تا به امروز، پژوهش‌های گستره‌ای پیرامون پدیده‌ی یخ‌زدگی بال انجام شده که بیانگر حساسیت زیاد این موضوع در صنعت هوانوردی است. به دلیل مشابهت‌های میان حباب جدایش پله‌ی وارون با حباب جدایش لبه‌ی حمله‌ی ایرفویل به هنگام وقوع یخ‌زدگی، مطالعه‌ی پله‌ی آبودینامیکی می‌تواند نقش بسزایی در فهم این پدیده داشته باشد [۱۰].

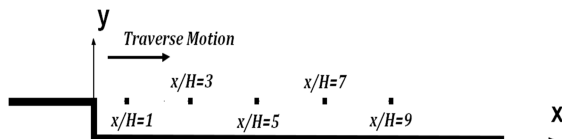
۲- جزئیات آزمایشگاهی

آزمایش‌های تحقیق حاضر، در تونل باز فروصوت آزمایشگاه آبودینامیک دانشکده‌ی مهندسی هوافضای دانشگاه صنعتی خواجه نصیرالدین طوسی صورت پذیرفته است. این تونل باز، از نوع مدار باز بوده و دارای مقطع آزمونی به طول 3 m ، به عرض

جدول ۱- موقعیت تپهای فشاری بر روی سطح پله

Tap No.	1	2	3	4	5	6	7	8	9	10	11	12	13	14
x/H	-1.85	-0.93	0.09	0.83	1.57	1.94	2.31	2.68	3.06	3.43	3.8	4.17	4.54	4.91
Tap No.	15	16	17	18	19	20	21	22	23	24	25	26	27	28
x/H	5.28	5.65	6.02	6.38	6.76	7.13	7.5	7.87	8.24	8.61	8.98	9.35	9.72	10.09

محصول شرکت فراسنجش صبا FSS، یک عدد پروب ساده یک بعدی (تک حسگری) مدل WU11-SN، یک دستگاه برد الکترونیکی ۱۲ A/D بیتی ۱۶ کاناله ساخت شرکت National Instruments مدل PCI-6024E و یک دستگاه کامپیووتر شخصی استفاده شد. در طول آزمایشات، شرایط جریان مرجع به وسیله یک میکروولوله استاتیکی پیوت و یک دستگاه میکرومانتور دیجیتال مدل ۰۵۶۰-۵۱۲۶ Testo با دقت ۰,۱ پاسکال (به عنوان کالیبراتور)، اندازه‌گیری می‌شد. به علاوه، فرکانس داده‌برداری ۵۰۰ Hz به همراه فرکانس قطع ۱۵ kHz (به وسیله یک فیلتر پایین‌گذر)، برای نمودارهای تحلیل طیفی سیگنال سیم داغ به کار گرفته شد. شکل‌های ۵ و ۶، موقعیت و وضعیت نصب حسگر پروب سیم داغ را در پایین‌دست مدل پله نشان می‌دهند. همانطور که دیده می‌شود، یک سیستم انتقال دهنده سه محوره با وضوح ۱mm^۰ که به وسیله کامپیووتر قابل کنترل است، جهت جابجایی پروب مورد استفاده قرار گرفته است.



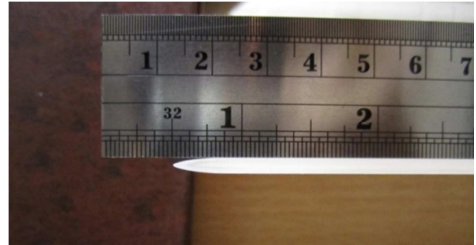
شکل ۵- موقعیت نقاط داده برداری توسط پروب سیم داغ



شکل ۶- وضعیت نصب پروب سیم داغ را در پایین دست مدل پله

۳- تشریح نتایج و بحث

شکل ۷، توزیع ضربی فشار متوسط را روی سطح پله در سه سرعت جریان آزاد ۵ m/s و ۱۰ و ۱۵ m/s نشان می‌دهد. در هر سه منحنی این شکل، ضربی فشار در لبه نوک پله ($x/H=0$) ناگهان با یک افت شدید مواجه می‌شود که بیانگر ورود به ناحیه‌ی حباب



شکل ۴- استفاده از بروفیل بیضوی برای لبه حمله مدل پله

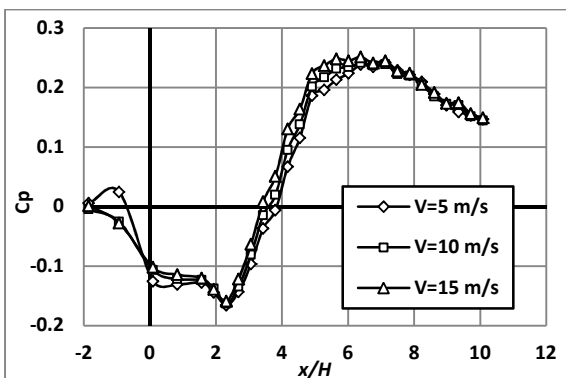
در این پژوهش به منظور اندازه‌گیری توزیع فشار روی سطح مدل، ۲۸ عدد حفره‌ی فشاری به قطر ۰,۶ mm، حول محور تقارن جسم (اطراف میانه‌ی دهانه‌ی جسم) ایجاد شده است. چینش حفره‌ها (با فواصل مساوی ۲ cm از یکدیگر) به روش زیگزاگ صورت گرفته که به حذف تأثیر حفره‌ها روی یکدیگر کمک می‌کند. موقعیت تپهای فشاری را در جدول ۱ مشاهده می‌نمایید. از آنجایی که لبه نوک پله به عنوان مبدأ مختصات انتخاب شده، مقادیر منفی (x/H) متوجه سطح بالا دست پله و مقادیر مثبت، متوجه سطح پایین دست پله می‌باشد، که در آن، x موقعیت تپهای فشاری می‌باشد.

سیستم اندازه‌گیری فشار مورد استفاده در این تحقیق، شامل دستگاه‌های مبدل فشار مدل DC005NDC4 ساخت شرکت PressureField Honeywell به همراه نرم‌افزار FFS، یک دستگاه برد الکتریکی ۱۶ بیتی ۳۲ FFS، یک دستگاه برد الکتریکی ۱۶ بیتی National Instruments و یک دستگاه کامپیوuter شخصی می‌باشد. عملیات داده‌برداری در بازه زمانی ۱۵ ثانیه و در فرکانس ۱۰۰۰ Hz صورت می‌گرفته است. به منظور حصول اطمینان از صحت نتایج آزمایشات فشار، برای هر سرعت جریان آزاد، حداقل ده مرتبه عملیات داده‌برداری صورت گرفت. همچنین عدم قطعیت اندازه‌گیری برای ضربی فشار توسط سیستم اندازه‌گیری فشار فوق، در بیشترین حالت، حدود $\pm ۰,۱$ تخمین زده می‌شود. در این تحقیق، ضربی فشار به صورت $C_p = (P - P_\infty) / (0.5 \rho V_\infty^2)$ تعریف شده است که در آن P فشار استاتیکی متوسط روی سطح مدل، P_∞ فشار جریان آزاد، V_∞ سرعت جریان آزاد و ρ چگالی هوا می‌باشد. برای اندازه‌گیری طیف نوسانات طبیعی جریان در دنباله پله و فرکانس ریزش گردابه‌ها در لایه برشی جدا شده، از یک دستگاه Rake Flow Ware جریان سنج سیم داغ به همراه نرم‌افزار

ناحیه‌ی خیز منحنی‌ها تا محور عمودی نمودار به میزان بسیار جزیی اما به صورت منظم کم شده (بخصوص از $H=3$ به بعد)، که مؤید این اصل است که با افزایش عدد رینولذز، طول باز پیوست اندکی کاهش می‌یابد. در واقع، با افزایش سرعت جریان آزاد، میزان پدیده یا اختلاط جریان پرسرعت بالایی با جریان کم‌سرعت زیرین لایه‌ی برشی، افزایش یافته و در نتیجه موجب افزایش مقدار مومنتوم در لایه‌ی برشی جداشده، و بازیابی سریع‌تر جریان می‌شود. علت جزئی بودن تغییرات منحنی‌های فشار با افزایش عدد رینولذز، آشفته بودن لایه‌ی برشی در پایین دست رینولذز عدد رینولذز، آشفته بودن لایه‌ی برشی در این گستره از اعداد لبه نوک پله می‌باشد که باعث می‌شود در این گستره از اعداد رینولذز ($Re_H = 18000 - 54000$)، الگوی جریان حالت ساختاری‌یافته (قاعده‌مند) و تقریباً یکسانی داشته باشد. در حقیقت، هنگامی که لایه‌ی برشی در پایین دست نقطه جدایش تماماً آشفته می‌شود، طول بازپیوست تقریباً مستقل از عدد رینولذز خواهد بود [۳].

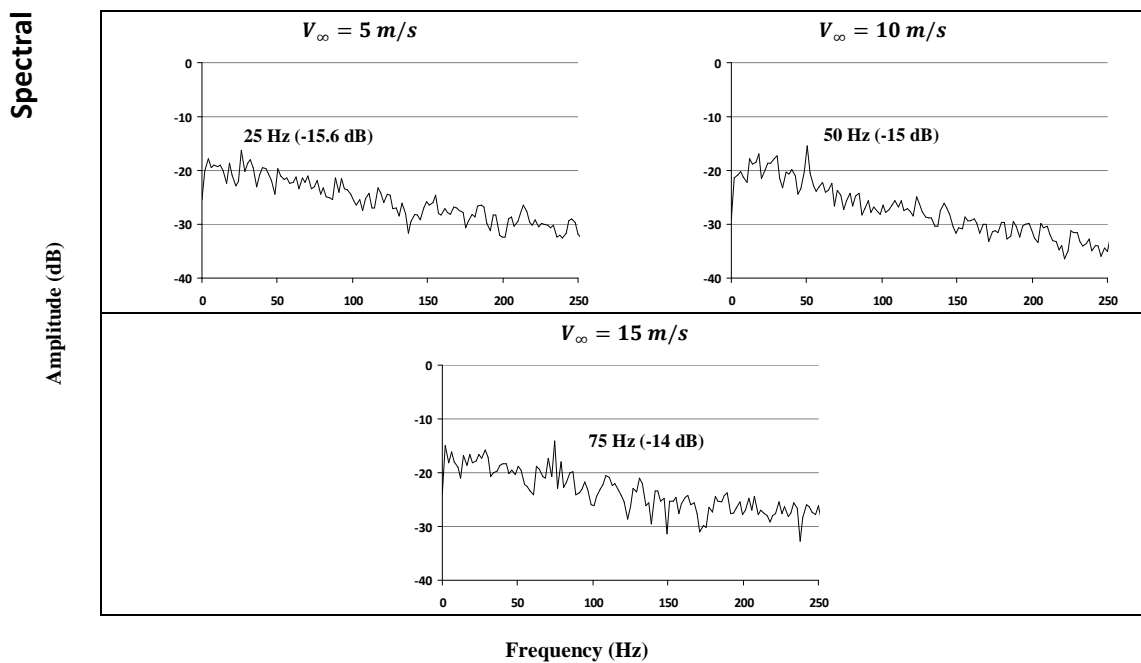
علاوه بر بررسی رفتار متوسط جریان با آزمون توزیع فشار، می‌توان طیف نوسانات جریان و رفتار لحظه‌ای آن را به کمک دستگاه جریان‌سنچ سیم داغ، مطالعه نمود. به منظور بررسی تأثیر تغییر سرعت جریان آزاد بر الگوی ریزش گردابه‌ها، نمودارهای تحلیل طیفی نوسانات جریان در موقعیت $(x/H = 1, y/H = 1)$ برای سه سرعت جریان آزاد 5 m/s , 10 m/s و 15 m/s در شکل ۸ نشان داده شده است. علت انتخاب این موقعیت برای اندازه‌گیری فرکانس مود پله، این بود که این نقطه کاملاً در لایه‌ی برشی دنباله‌ی پله قرار گرفته و گردابه‌ها تا این فاصله از لبه‌ی پله، به اندازه‌ی کافی فرصت رشد داشته‌اند. استفان و همکارانش [۱۲] نیز در پژوهش تجربی خود روی دنباله‌ی جریان پله، این موقعیت را برای سنجش فرکانس مود پله به کار برده‌اند. همان‌طور که در شکل ۸ مشاهده می‌گردد، با افزایش سرعت جریان آزاد، فرکانس ریزش گردابه‌ها و همچنین دامنه‌ی نوسانات جریان، افزایش می‌یابد. این در حالی است که اگر این فرکانس در قالب عدد استروهال محاسبه گردد، متوجه می‌شویم که برای سه سرعت فوق، فرکانس بدون بعد یکسان، و برابر $St = 0.27$ به دست می‌آید که با نتایج تحقیقات پیشین مطابقت بسیار خوبی دارد [۹]. این موضوع بیانگر ساختار یافته (قاعده‌مند) بودن و یکسان بودن الگوی متناوب ریزش گردابه‌ها، برای جریان اطراف پله در گستره عدد رینولذز ($Re_H = 18000 - 54000$) است.

جدایش است و در ادامه تا قبل از شروع بازیابی جریان (حوالی $x/H=2$ ، تقریباً ثابت می‌ماند. در واقع، ویژگی هر ناحیه‌ی حباب جدایش این است که در طول آن تا قبل از شروع بازیابی جریان، فشار به صورت یکنواخت توزیع می‌گردد [۱۰] (یعنی یک ناحیه فشار ثابت داریم). با پیشروی به طرف پایین دست جریان، ضریب فشار پس از اینکه به مقدار کمینه‌ی خود رسید، با یک خیز (رشد) نسبتاً سریع مواجه می‌شود که بیانگر شروع فرآیند بازیابی فشار و در نهایت بازپیوست لایه‌ی برشی است. مشاهده‌ی چنین رفتاری برای توزیع فشار روی سطح پله، تنها محدود به این پژوهش نیست. تانی و همکارانش [۱۱] نیز، در آزمایش‌های خود روی پله‌ی آبرودینامیکی، رفتاری مشابه را برای توزیع فشار به دست آورده‌اند.

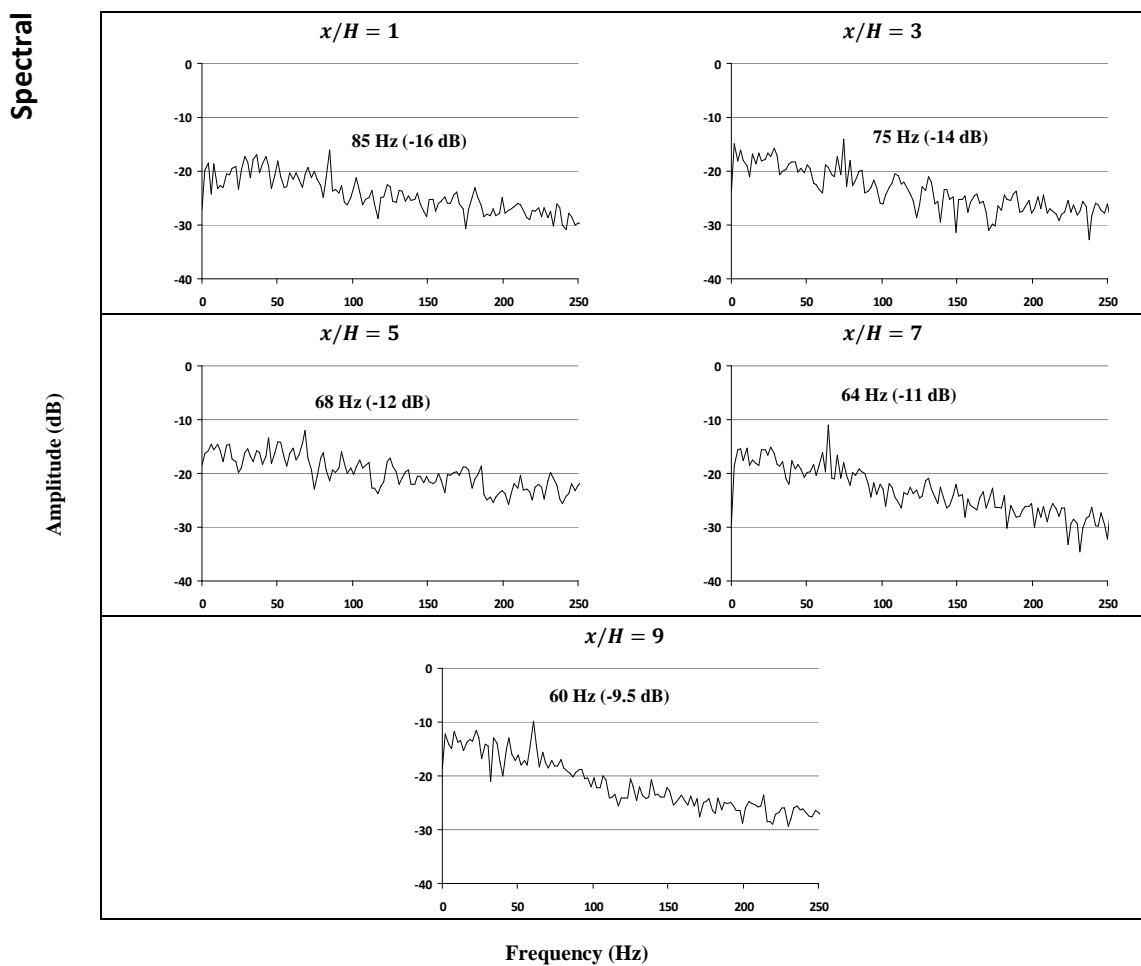


شکل ۷- توزیع فشار روی سطح پله در سرعت‌های مختلف

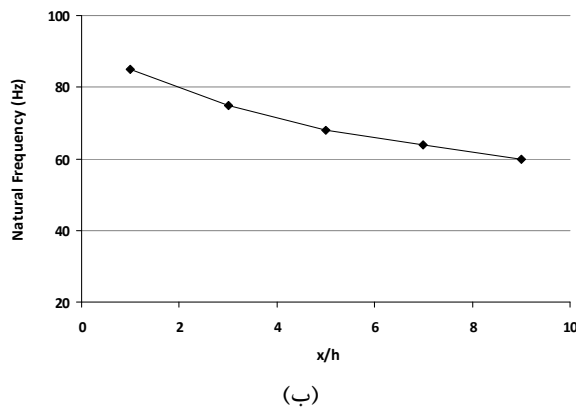
از نمودارهای توزیع فشار روی سطح پله (شکل ۷) می‌توان نتایج مختلفی را برداشت نمود. به عنوان مثال می‌توان گفت که به صورت کیفی، فاصله‌ی ناحیه بازیابی منحنی ضریب فشار تا لبه نوک پله ($x=0$)، بیان‌کننده‌ی حدود ابعاد ناحیه‌ی جدایش می‌باشد. بنابراین هرچه که قسمت خیز منحنی به سمت عقب (بالا دست) جابجا شود، بازیابی فشار در موقعیت جلوتری رخ خواهد داشت. همچنین، نکته‌ی قابل توجه دیگری که در تمامی منحنی‌ها به چشم می‌خورد، وقوع افت فشار ثانویه، درست پیش از شروع فرآیند بازیابی، و رسیدن ضریب فشار به کمترین میزان خود است. اینگونه به نظر می‌آید که نقطه‌ی کمینه‌ی این منحنی‌ها (موقعیت $x/H \approx 2.3$)، در واقع بیانگر ناحیه‌ی زیر هسته‌ی (مرکز) حباب بازگردش است. در این ناحیه، فاصله خطوط جریان حباب کم می‌شوند و سرعت جریان بازگشتی بر روی سطح پله، به مقدار بیشینه خود می‌رسد. بنابراین، ضریب فشار در ناحیه زیر هسته‌ی حباب به کمترین مقدار خود می‌رسد. از طرف دیگر، با نگاهی دقیق‌تر به منحنی‌های توزیع فشار در شکل ۷ مشخص می‌گردد که با افزایش عدد رینولذز، فاصله‌ی



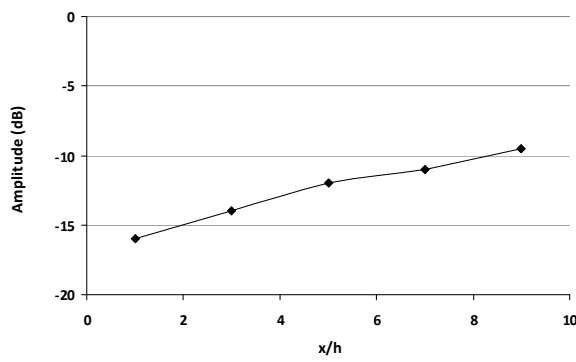
شکل ۸- طیف نوسانی جریان در موقعیت $(x/H = 3, y/H = 1)$ برای سه سرعت جریان آزاد



شکل ۹- تحلیل طیفی نوسانات جریان در موقعیت‌های مختلف در پایین دست مدل پله، برای سرعت جریان آزاد 15 m/s



(ب)



(الف)

شکل ۱۰- تغییرات (الف) دامنه و (ب) فرکانس طبیعی ریزش گردابه‌ها در لایه برشی، بر حسب فاصله از لبه نوک پله

زیرین لایه برشی، افزایش یافته و در نتیجه موجب افزایش مقدار مومنتوم در لایه برشی جداسده، و بازیابی سریع تر جریان می‌شود. در این حالت، طول بازیبودت به میزان جزی اما به صورت منظم کاهش می‌یابد. از طرف دیگر، تحلیل طیفی نوسانات جریان در موقعیت‌های مختلف در پایین دست دنباله پله، برای سرعت‌های مختلف، نشان داد که افزایش سرعت جریان آزاد و به طبع آن افزایش آهنگ گردش و غلتش گردابه‌ها در لایه برشی، قدرت و دامنه گردابه‌ها و همچنین فرکانس ریزش آن‌ها را افزایش می‌دهد. همچنین، با دور شدن از لبه نوک پله و حرکت به طرف پایین دست، به دلیل جفت‌شدن و ادغام گردابه‌ها، تعداد گردابه‌های ریزش شده در لایه برشی کاهش می‌یابد ولی اندازه گردابه‌های پایین دست زیاد می‌شود.

مراجع

- [1] Rajasekaran J., "On the flow characteristics behind a backward-facing step and the design of a new axisymmetric model for their study", Master of Applied Science Thesis, Department of Aerospace Engineering, University of Toronto, 2011.
- [2] Armaly B.F., Durst F., Pereira J.C.F., Schonung B., "Experimental and theoretical investigation of backward-facing step flow", *J. Fluid Mech.*, vol. 127, pp. 473-496, 2001.
- [3] Adams E.W., Johnston J.P., "Effects of the separating shear layer on the reattachment length and wall shear stress", *Exp. Fluids*, vol. 6, Issue 7, pp. 493-499, 1988.
- [4] Kostas J., Soria J., Chong M.S., "Particle image velocimetry measurements of a backward-facing step flow", *Exp. Fluids*, vol. 33, Issue 6, pp. 838-853, 2002.
- [5] Spazzini P.G., Iuso G., Omorato M., Zurlo N., Di Cicca G.M., "Unsteady behavior of backward-facing step flow", *Exp. Fluids*, vol. 30, Issue 5, pp. 551-561, 2001.
- [6] Kitzhofer J., "Volumetric Measurements of the Transitional Backward Facing Step Flow", Ph.D. DISSERTATION, T.U. Bergakademie Freiberg, 1981.

در مقابل شکل ۸، که طیف نوسانی جریان را برای موقعیت ثابتی از میدان در سرعت‌های مختلف جریان آزاد نشان می‌دهد، شکل ۹، نمودارهای تحلیل طیفی نوسانات جریان را در موقعیت‌های مختلف در پایین دست مدل پله، برای سرعت جریان آزاد ثابت (15 m/s) ارائه می‌کند. به این ترتیب، می‌توان تغییرات الگوی ریزش گردابه‌ها را در موقعیت‌های مختلف از دنباله پله مورد مطالعه قرار داد. همانگونه که در این شکل مشاهده می‌شود با دور شدن از لبه نوک پله به طرف پایین دست جریان، فرکانس ریزش گردابه‌ها کاهش و هم‌زمان دامنه نوسانات جریان درون لایه برشی افزایش می‌یابد. در نهایت، با مقایسه شکل‌های ۸ و ۹، می‌توان نتیجه گرفت که افزایش سرعت جریان آزاد و به طبع آن افزایش آهنگ گردش و غلتش گردابه‌ها در لایه برشی، قدرت و دامنه گردابه‌ها و همچنین فرکانس ریزش آن‌ها را افزایش می‌دهد. از طرف دیگر، با افزایش فاصله از لبه نوک پله و حرکت به طرف پایین دست لایه برشی، به دلیل جفت‌شدن و ادغام گردابه‌ها در هنگام پیدیده رولینگ (در راستای تشکیل گردابه‌های بزرگ‌تر)، از تعداد گردابه‌های ریزش شده درون لایه برشی کاسته می‌شود ولی هم‌زمان سایز و دامنه گردابه‌های پایین دست افزایش می‌یابد (شکل ۱۰).

۴- نتیجه‌گیری

در پژوهش حاضر، با آزمون‌های توزیع فشار و اندازه‌گیری با جریان سنج سیم داغ، رفتار جریان در ناحیه حباب جدایش پله‌ی وارون با نسبت انسپاکت کم (پله‌ی آبرودینامیکی) در تونل باد مطالعه شد. توزیع فشار روی سطح مدل پله نشان داد که در گستره‌ی عدد رینولدز ($Re_H < 54000$)، الگوی جریان در ناحیه جدایش پله، حالت ساختار یافته پیدا کرده است و جریان رفتار مشخص و تقریباً یکسانی از خود نشان می‌دهد. علت این موضع در واقع آشفته شدن سریع لایه برشی در پایین دست نقطه جدایش، یعنی در فاصله اندکی از لبه نوک پله، است. همچنین مشاهده شد که با افزایش عدد رینولدز، میزان پیدیده یا اختلاط جریان پرسرعت بالایی با جریان کم سرعت

- [7] Schafer F., Breuer M., Durst F., "The dynamics of the transitional flow over a backward-facing step", J. Fluid Mech., Vol. 623, pp. 85-119, 2009.
- [8] Marrot F., Gajan P., Pauzin S., Simon F., "Experimental Application of an Active Control Loop on Backward-Facing Step Flow", AIAA J., vol. 43, Issue 6, pp. 1176-1186, 2005.
- [9] Chun K. B., Sung H. J., "Control of turbulent separated flow over a backward-facing step by local forcing", Exp. Fluids, vol. 21, Issue 6, pp. 417-426, 1996.
- [10] Bragg M.B., Broeren A. P., Blumenthal L. A., "Iced-Airfoil and Wing Aerodynamics", College of Aerospace Engineering, University of Illinois at Urbana Champaign, pp. 1-48, 2003.
- [11] Tani I., Luchi M., Komoda H., "Experimental investigation of flow separation associated with a step or a groove", Aeronautical Research Institute, University of Tokyo, Report no. 364, pp. 119-137, 1961.
- [12] Stephen E., Carter N., Leung C., "Flow over a backward-facing step under controlled-plasma actuator-induced perturbations", 40th Fluid Dynamics Conference and Exhibit, AIAAPaper, no. 2010-4591, 2010.